

## مقایسه عملکرد بلندمدت و هزینه اولیه پمپ حرارتی منبع زمینی افقی با پمپ حرارتی منبع هوایی در مناطق گرمسیر

علی صداقت، علی حکاکی فرد\*

مهندسی مکانیک، دانشگاه صنعتی شریف، تهران، ایران

### تاریخچه داوری:

دریافت: ۱۴۰۰/۱۲/۱۱  
 بازنگری: ۱۳۹۹/۰۴/۱۸  
 پذیرش: ۱۳۹۹/۰۵/۲۸  
 ارائه آنلاین: ۱۳۹۹/۰۶/۰۴

### كلمات کلیدی:

پمپ حرارتی منبع هوایی  
 پمپ حرارتی منبع زمینی  
 مبدل حرارتی افقی خطی  
 پارامترهای هندسی  
 عملکرد سالانه

**خلاصه:** پمپ‌های حرارتی منبع زمینی به دلیل ضریب عملکرد بالا مورد توجه بسیاری قرار گرفته‌اند. در این سیستم‌ها از زمین به عنوان منبع گرم‌سرد برای پمپ‌های حرارتی استفاده می‌شود و انتقال حرارت بین منبع زمین و پمپ حرارتی به وسیله مبدل حرارتی زمینی صورت می‌گیرد. در این پژوهش عملکرد بلندمدت و هزینه اولیه این سیستم‌ها با سیستم‌های متداول منبع هوایی در منطقه‌ای گرمسیر مقایسه شده است. برای بررسی عملکرد سیستم منبع زمینی، با استفاده از نرم‌افزار فلوئنست به مدل سازی عددی مبدل حرارتی زمینی افقی خطی زمینی به صورت ساعتی و برای دوره‌ای پنج ساله در بندرعباس پرداخته شده است. همچنین برای بررسی بهتر، طول، فاصله، عمق و قطرهای مختلفی برای لوله‌های مبدل حرارتی در نظر گرفته شده است. نتایج نشان داد که ضریب عملکرد پنج ساله اگربری سیستم منبع زمینی به ترتیب ۱۹/۹ الی ۲۴/۳ و ۵/۹۵ الی ۶/۵۵ درصد نسبت به سیستم منبع هوایی بیشتر است. با این حال، به ازای تأمین هر کیلووات بیشینه بار ساختمان در سال، هزینه اولیه سیستم منبع زمینی ۱/۲ الی ۲/۵ میلیون تومان بیشتر از سیستم منبع هوایی است. همچنین بر اساس نتایج با کاهش طول مبدل حرارتی، هزینه اولیه کاهش و عملکرد سیستم بهبود می‌یابد، فاصله بین لوله‌ها بیشترین تأثیر را در سطح زمین موردنیاز دارد، عمق بیشترین تأثیر را در هزینه اولیه و ضریب عملکرد سیستم دارد و قطر لوله تأثیری بر عملکرد سیستم ندارد.

### ۱- مقدمه

امروزه بخش زیادی از مصرف انرژی در حوزه سیستم‌های تهویه مطبوع است که اکثراً توسط منابع فسیلی تأمین می‌شود [۱]. پمپ‌های حرارتی یکی از سیستم‌های پر مصرف در تهییه مطبوع‌اند که می‌توانند برای سرمایش و گرمایش ساختمان به کار روند. پمپ‌های حرارتی مرسوم عموماً از هوای محیط به عنوان منبع سرد/گرم استفاده می‌کنند. با توجه به این که نوسانات دمای نزدیکی سطح زمین نسبت به هوای محیط کمتر است و دمای زمین در طول سال نسبتاً ثابت است؛ زمین می‌تواند جایگزینی مناسب برای منبع سرد/گرم پمپ‌های حرارتی مرسوم باشد [۲]. از این‌رو سیستم‌های پمپ حرارتی با منبع زمینی به جای منبع هوایی در راستای کاهش مصرف انرژی و حفظ محیط‌زیست مورد استقبال قرار گرفته‌اند. در این نوع سیستم‌ها مبدل‌های حرارتی زمینی با توجه به نوع به کار گیری پمپ حرارتی در حالت سرمایش یا گرمایش وظیفه انتقال حرارت از پمپ حرارتی به زمین یا بر عکس را دارند. مبدل‌های حرارتی زمینی به طور کلی به دو



بخش قابل توجهی از حرارت تجمع یافته در زمین به محیط اطراف را دارند. با توجه به این که تاکنون مطالعه‌ای کامل بر روی کارکرد بلندمدت پمپ‌های حرارتی منبع زمینی با مبدل حرارتی زمینی افقی در مناطق بسیار گرمسیر صورت نگرفته است. در این پژوهش سعی شده است با درنظرگرفتن شرایط محیطی و بار حرارتی ساختمان به صورت ناپایدار و متغیر بازمان و به صورت ساعتی به مدل‌سازی دقیق این سیستم‌ها پرداخته شود. به منظور امکان‌سنجی استفاده از این نوع سیستم‌ها در مناطق بسیار گرمسیر ضریب عملکرد و راندمان اگزرسی آن‌ها در بازه‌ای پنج ساله با سیستم‌های متداول منبع هوایی مقایسه شده‌اند. علاوه بر این تأثیر پارامترهای هندسی مبدل حرارتی زمینی از جمله طول، فاصله، عمق و قطر لوله‌ها، بر بیشینه بار تأمین‌کننده هر لوله از مبدل حرارتی زمینی، ضریب عملکرد سالانه سیستم، راندمان سالانه اگزرسی سیستم، هزینه اولیه و مقدار زمین موردنیاز سیستم‌های پمپ‌های حرارتی منبع زمینی به دست آورده شده است.

## ۲- توصیف سیستم

پمپ‌های حرارتی منبع زمینی چرخه‌ای مشابه با پمپ‌های حرارتی منبع هوایی دارند، به طوری که در هر دو نوع سیستم پمپ حرارتی از اجزای اصلی کندانسور، شیر انبساط، اوپراتور و کمپرسور تشکیل شده‌اند. تفاوت این دو نوع سیستم در نحوه خنکسازی کندانسور آن‌ها است. در نوع منبع هوایی، خنکسازی توسط هوای محیط صورت می‌گیرد اما در نوع منبع زمینی از آب خروجی از مبدل آبی حرارتی زمینی استفاده می‌شود. مبدل حرارتی افقی در نظر گرفته شده شامل مجموعه‌ای از لوله‌ها به صورت موازی و خطی با فواصل یکسان است که در زیرزمین کنار هم قرار می‌گیرند و دبی همه آن‌ها یکسان است. در شکل ۱ نحوه کارکرد سیستم پمپ حرارتی منبع زمینی با مبدل حرارتی افقی خطی نشان داده شده است. پارامترهای مختلف هندسی مبدل زمینی آبی بررسی شده از جمله طول، فاصله، عمق و قطر لوله‌ها در جدول ۱ خلاصه شده است. در حالات بررسی شده در این پژوهش برای بررسی تأثیر هر پارامتر، فقط مقدار یک پارامتر تغییر کرده و باقی پارامترها ثابت بوده‌اند.

## ۳- مدل‌سازی ریاضی

در این پژوهش برای به دست آوردن عملکرد پمپ حرارتی منبع زمینی، مدل‌سازی فقط برای مبدل حرارتی زمینی صورت گرفته

چن<sup>۱</sup> و همکاران [۷] به صورت تجربی و عددی طول بیشینه مبدل‌های حرارتی عمودی را به دست آورده‌اند. نتایج آن‌ها نشان داد به ازای عمق ۷۰ متر بیشینه نرخ انتقال حرارت بر واحد طول مبدل حرارتی اتفاق می‌افتد. لی و همکاران [۸] عملکرد گرمایی مبدل حرارتی عمودی را به صورت عددی در دوره‌ای ۶۰ روزه بررسی کردند. آن‌ها برای این منظور با درنظرگرفتن خاک با پنج لایه مختلف توزیع دمای اطراف مبدل حرارتی عمودی را محاسبه نمودند. نتایج نشان داد پس از ۶۰ روز کارکرد بیشینه دمای خاک در فاصله ۰/۲ متری از لوله ۹/۲ درجه سانتی گراد زیاد شود.

همچنین در حوزه مبدل‌های حرارتی افقی، می<sup>۲</sup> [۹] به صورت تحلیلی عملکرد گرمایی مبدل حرارتی زمینی خطی افقی را بررسی کرد و با نتایج تجربی مقایسه نمود. روش استفاده شده توسط وی مبنای مناسبی برای روش‌های تحلیلی قرار گرفت. کوپیک<sup>۳</sup> و همکاران [۱۰] مدل ریاضی بر پایه معادله انتقال حرارت یک بعدی گذرا با یک منبع داخلی برای مبدل‌های افقی موازی ارائه دادند. میزان گرمای منتقل شده از زمین به سیال را تعیین کردند. آن‌ها نشان دادند پس از حدود ده سال کارکرد دمای زمین به حالت پایدار می‌رسد. کایاسی<sup>۴</sup> و همکاران [۱۱] با مدل‌سازی عددی به بررسی توزیع دمای خاک تحت کارکرد مبدل افقی خطی پرداختند و عملکرد ده ساله پمپ حرارتی با منبع زمینی به دست آورده‌اند. گان<sup>۵</sup> [۱۲] به تأثیر میزان رطوبت نسبی خاک بر نرخ انتقال حرارت در مبدل‌های افقی خطی پرداخت. نتایج مدل‌سازی عددی نشان داد که در خاک‌های مرتبط ۲۴ الی ۲۶ درصد نرخ انتقال حرارت بیشتری صورت می‌گیرد و درنتیجه عملکرد بهتری خواهد داشت.

اکثر مطالعات پیشین عملکرد گرمایی پمپ‌های حرارتی منبع زمینی را در مناطق سردسیر یا معتدل بررسی کرده‌اند. در مناطق گرمسیر به دلیل تجمع حرارت در خاک عملکرد این سیستم‌ها به مرور افت می‌کند [۱۳]. به طوری که استفاده از پمپ‌های حرارتی منبع زمینی با مبدل‌های حرارتی زمینی عمودی بدون استفاده از تجهیزات خنک‌کننده کمکی توصیه نمی‌شود [۱۴]. اما مبدل‌های حرارتی زمینی افقی به دلیل نزدیک بودن به سطح زمین امکان دفع

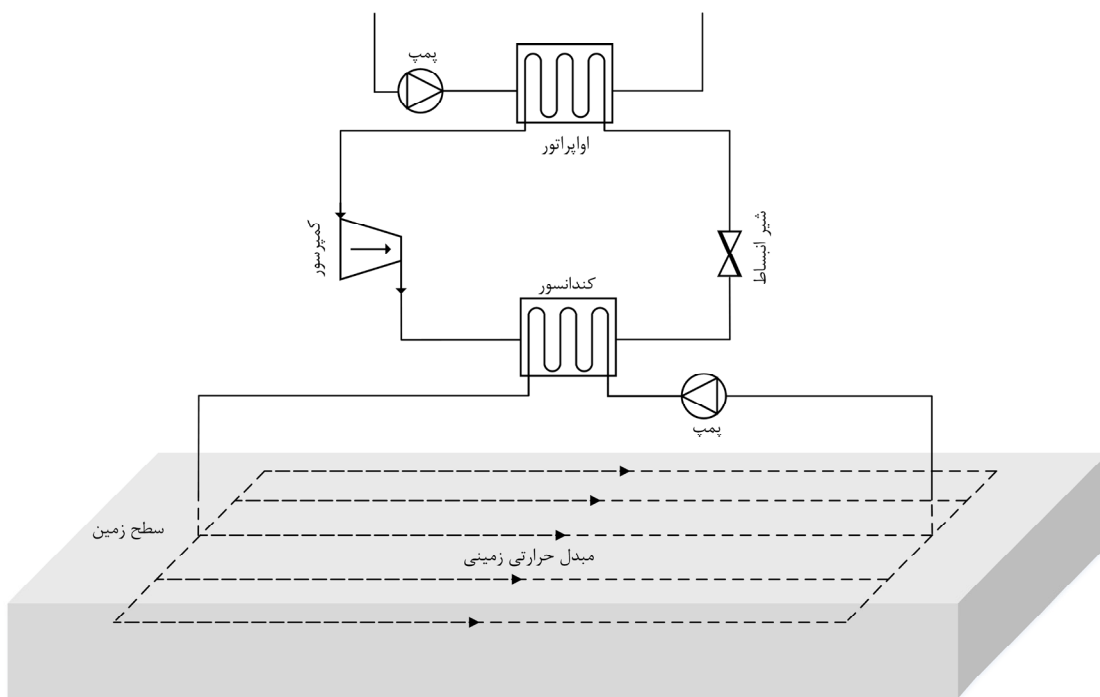
1 Chen

2 Mei

3 Kupiec

4 Kayaci

5 Gan



شکل ۱. شکل شماتیک سیستم پمپ حرارتی منبع زمینی

Fig. 1. Schematic diagram of the GSHP system

جدول ۱. حالات درنظر گرفته شده برای بررسی تأثیرات پارامترهای هندسی

Table 1. Considered cases to investigate the effect of geometric parameters

پارامتر	طول (m)	فاصله (m)	عمق (m)	قطر (cm)
تأثیر طول	۱۵	۱	۲	۴
	۳۰	۱	۲	۴
	۴۵	۱	۲	۴
تأثیر فاصله	۳۰	۰/۵	۲	۴
	۳۰	۱	۲	۴
	۳۰	۱/۵	۲	۴
تأثیر عمق	۳۰	۱	۱	۴
	۳۰	۱	۲	۴
	۳۰	۱	۳	۴
تأثیر قطر	۳۰	۱	۲	۳/۲
	۳۰	۱	۲	۴
	۳۰	۱	۲	۵

جدول ۲. خواص فیزیکی و حرارتی مواد استفاده شده در پژوهش حاضر [۵]

[۵] Table 2. Thermophysical properties used in the present study

ماده	چگالی (kg/m <sup>3</sup> )	ضریب حرارت هدایتی (W/m.K)	ظرفیت حرارتی (J/kg.K)
خاک	۱۵۸۷/۳۲	۱/۲۴	۱۴۶۴/۸
لوله	۹۵۰	۰/۴۴	۲۳۰۰
آب	۹۹۸/۲	۰/۶	۴۱۸۲

خروجی از اوپراتور پمپ حرارتی است. در این پژوهش دمای هوای ورودی به کنداسور پمپ حرارتی منبع هوایی، دمای هوای محیط و در پمپ حرارتی منبع زمینی، دمای آب خروجی مبدل حرارتی زمینی از زمین در نظر گرفته شده است و همچنین دمای آب خروجی از اوپراتور مقدار ثابت هفت درجه سانتی گراد فرض شده است [۱۶]. در این پژوهش برای مشخص کردن دمای آب خروجی از مبدل حرارتی زمینی، مدل سازی عددی صرفاً برای مبدل حرارتی مدفون در زمین صورت گرفته است. معادلات حاکم بر مسئله شامل پیوستگی، مومنت و انرژی به صورت زیر است.

$$\frac{\partial(\rho)}{\partial t} + \nabla \cdot (\rho \vec{U}) = 0 \quad (2)$$

$$\frac{\partial}{\partial t}(\rho \vec{U}) + \vec{U} \cdot \nabla (\rho \vec{U}) = -\nabla P + \nabla \cdot (\mu \nabla \vec{U}) \quad (3)$$

$$\frac{\partial(\rho c_p T)}{\partial t} + \vec{U} \cdot \nabla (\rho c_p T) = \nabla \cdot (k \nabla T) \quad (4)$$

با گسسته سازی معادلات فوق به روش حجم محدود<sup>۱</sup> و با استفاده از روش سیمپل<sup>۲</sup> به کمک نرم افزار فلوئنت، معادلات در تمام

است و با استفاده از دمای آب خروجی و مقدار حرارت منتقل شده به کاندنسور دمای آب ورودی به زمین در هر مرحله به دست آمده است. برای کاهش زمان محاسبات و با توجه به تقارن هندسه مدل سازی صرفاً برای محدوده نیمی از لوله تا صفحه تقارن دو لوله صورت گرفته است. خواص فیزیکی و حرارتی مواد استفاده شده در این پژوهش ثابت و همگن در نظر گرفته شده است و در جدول ۲ ارائه شده است.

### ۱-۳- معادلات حاکم

ضریب عملکرد پمپ های حرارتی به عوامل مختلفی همچون دمای منبع سرد، دمای منبع گرم، بازده کمپرسور، برگشت ناپذیری سیستم و پارامترهای دیگری بستگی دارد؛ اما از آنجایی که رابطه تئوری که تمامی عوامل فوق را در نظر بگیرد وجود ندارد، در این پژوهش از رابطه ای تجربی که توسط استافل و همکاران [۱۵] پیشنهاد شده است، استفاده می شود. با استفاده از این رابطه ضریب عملکرد پمپ های حرارتی منبع هوایی و منبع زمینی در حالت سرمايش به صورت زیر مشخص می گردد.

$$\begin{cases} COP_{GSHP} = 7.77 - 0.15\Delta T + 0.000734\Delta T^2 \\ COP_{ASHP} = 5.81 - 0.121\Delta T + 0.00063\Delta T^2 \end{cases} \quad (1)$$

که در آن  $\Delta T$  اختلاف دمای آب/هوای ورودی به کنداسور با آب

۱ Finite volume method

۲ Simple

ضریب عملکرد سالانه سیستم نیز نسبت مجموع بار ساختمان به کار کمپرسور در یک سال به صورت زیر تعریف می‌شود [۱۸]

$$COP_{annual} = \frac{\sum Q_{Building}}{\sum W_{comp.}} \quad (8)$$

برای محاسبه راندمان اگررژی سیستم ابتدا ضریب عملکرد بازگشت‌پذیر سیستم از طریق رابطه زیر محاسبه می‌شود [۱۹].

$$COP_{rev} = \frac{T_{cold}}{T_{hot} - T_{cold}} \quad (9)$$

که در آن  $T_{cold}$  و  $T_{hot}$  به ترتیب دمای منابع سرد و گرم پمپ حرارتی‌اند. دمای منبع گرم برای پمپ حرارتی منبع زمینی میانگین دمای آب ورودی و خروجی مبدل حرارتی زمینی و برای پمپ حرارتی منبع هوایی میانگین هوای محیط اطراف کندانسور در نظر گرفته شده است. همچنین دمای منبع سرد میانگین دمای آب ورودی و خروجی گذرنده از اوپراتور در نظر گرفته شده است. در این پژوهش دمای آب ورودی و خروجی اوپراتور به ترتیب برابر با دوازده درجه سانتی‌گراد و هفت درجه سانتی‌گراد در نظر گرفته شده است [۲۰].

ضریب عملکرد سالانه بازگشت‌پذیر سیستم، میانگین ضریب عملکرد بازگشت‌پذیر سیستم در ساعات کارکرد سیستم است که به صورت زیر به دست می‌آید.

$$COP_{annual,rev} = \frac{1}{n} \sum_{i=1}^n \left( \frac{T_{cold}}{T_{hot} - T_{cold}} \right) \quad (10)$$

که در آن  $n$  تعداد ساعات کارکرد سیستم است. راندمان سالانه اگررژی سیستم نیز نسبت ضریب عملکرد سالانه سیستم به ضریب عملکرد سالانه بازگشت‌پذیر سیستم تعریف می‌شود و از طریق رابطه زیر به دست آورده می‌شود [۱۹].

$$\eta_{annual} = \frac{COP_{annual}}{COP_{annual,rev}} \quad (11)$$

قسمت‌های سیال، خاک و لوله‌ها حل می‌شوند. با توجه به این که سرعت در بخش‌های جامد صفر است درنتیجه در قسمت خاک صرفاً معادله انرژی نیاز است حل شود. از آنجایی که چرخه مبدل حرارتی زمینی، حلقه‌بسته است، دمای آب ورودی به زمین در هر مرحله با استفاده از دمای آب خروجی از زمین در مبدل افقی و همچنین گرمای مبادله شده از مبدل حرارتی زمینی به کندانسور، به صورت زیر به دست می‌آید.

$$T_{w,in} = T_{w,out} + \frac{\dot{Q}_{GWHE}}{m_w c_p} \quad (5)$$

که در آن  $T_{in}$ ،  $T_{out}$  و  $m_w$  به ترتیب برابر با دمای آب ورودی، دمای آب خروجی، بار گرمایی در مبدل حرارتی زمین و دبی جرمی آب است.

طبق پیشنهاد کاواناه و همکاران [۱۷] برای محاسبه بیشینه بار مجاز ساختمان که هر لوله می‌تواند تأمین کند و دبی آب هر لوله در تمامی حالات بررسی شده، بیشینه اختلاف دمای آب خروجی با ورودی در سال اول  $7/9$  درجه سانتی‌گراد و بیشینه اختلاف دمای آب خروجی با دمای مختلنشده خاک در عمق زمین  $17$  درجه سانتی‌گراد در نظر گرفته شده است.

بار گرمایی در مبدل حرارتی زمینی با توجه به ضریب عملکرد پمپ حرارتی از طریق رابطه زیر به دست می‌آید.

$$\dot{Q}_{GWHE} = \dot{Q}_{Building} \left( 1 + \frac{1}{COP} \right) \quad (6)$$

که در آن  $\dot{Q}_{Building}$  بار ساختمان و COP ضریب عملکرد سیستم در هر لحظه است. کار کمپرسور در هر لحظه با توجه به بار ساختمان و ضریب عملکرد سیستم محاسبه می‌شود.

$$W_{comp.} = \frac{\dot{Q}_{Building}}{COP} \quad (7)$$

که در آن  $\alpha$  ضریب بازتاب ( $\alpha=0.98$ )،  $\epsilon$  ضریب پخش ( $\epsilon=0.98$ ) و  $\sigma$  ثابت استفان بولتزمان ( $\sigma=5.67 \times 10^{-8} \text{ W/m}^2\text{K}^4$ ) است. دمای آسمان با استفاده از رابطه زیر که تابعی از دمای محیط است تخمین زده می‌شود.

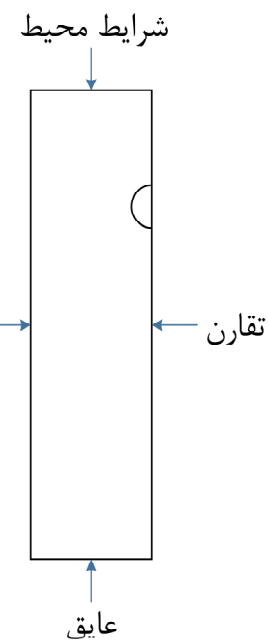
$$T_{sky} = 0.05222 T_{amb}^{1.5} \quad (13)$$

شرط مرزی پایینی در عمق ۲۰ متری از سطح خاک عایق، شرط مرزی سطح عمودی سمت راست تقارن و سمت چپ نیز عایق در نظر گرفته شده است. شروط مرزی دیواره عمودی خاک در فاصله ۵ متری دورتر از ورودی و خروجی آب نیز عایق لحاظ شده است.

برای تعیین شرط اولیه، یک شبیه‌سازی به صورت مجزا برای هندسه‌ای مکعب شکل با ابعاد هر ضلع ۲۰ متر و با استفاده از شروط مرزی ذکر شده، صورت گرفته است. پس همگرایشدن نتایج با شبیه‌سازی بلندمدت مسئله، توزیع دمای خاک در راستای عمق زمین به عنوان شرط اولیه و شرط مرزی در دوردست برای مدل‌سازی به دست آورده و استفاده شده است.

#### ۴- استقلال از شبکه

استقلال از شبکه برای هندسه‌ای با طول، فاصله، عمق و قطر لوله‌ها به ترتیب برابر با: ۳۰ متر، ۱ متر، ۲ متر و ۴ سانتی‌متر صورت گرفته است. افت فشار و ضریب عملکرد سال اول سیستم به ازای تعداد شبکه‌های مختلف از ۲۹۲۱۸ تا ۲۲۸۶۰۸ بررسی شده است. همان‌طور که در جدول ۳ مشخص شده است به ازای ۱۱۶۸۲۰ شبکه خطای نسبی افت فشار کمتر از ۱ درصد شده است. همچنین همان‌طور که در شکل ۳ به تصویر کشیده شده است در این تعداد شبکه تغییرات



شکل ۲. شکل دوبعدی هندسه مدل‌سازی و شرایط مرزی

Fig. 2. Two-dimensional system geometry and its boundary conditions

#### ۳-۲- شرایط مرزی و شرط اولیه

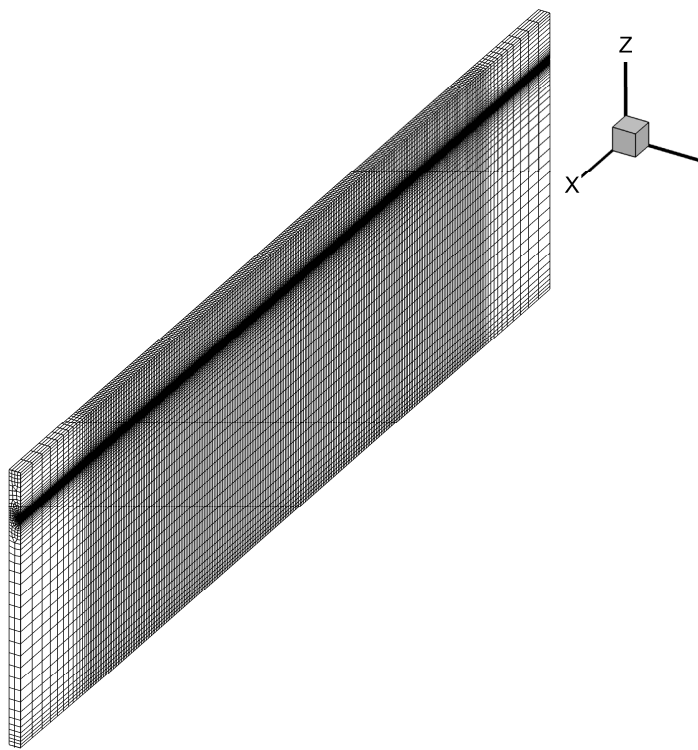
شکل دوبعدی هندسه مدل‌سازی و شرایط مرزی آن در شکل ۲ نشان داده شده است. در مرز سطح زمین مقدار شار ورودی از طریق شرایط محیط با درنظر گرفتن مقدار تابش از سطح خورشید به زمین، مقدار تابش بازتاب از زمین به محیط، انتقال حرارت جابه‌جاوی سطح زمین با محیط و انتقال حرارت تابش بین سطح زمین با آسمان به دست می‌آید.

$$\begin{aligned} q_{gro} &= q_{solar} + q_{diff} + q_{conv} + q_{sky} = (1-\alpha)I + \\ &h_{conv}(T_{amb} - T_{gro}) + \sigma\epsilon(T_{sky}^4 - T_{gro}^4) \end{aligned} \quad (12)$$

جدول ۳. افت فشار به ازای تعداد شبکه‌های مختلف

Table 3. Pressure drop for various grid resolutions

تعداد شبکه	افت فشار (Pa)	خطای نسبی (%)
۲۹۲۱۸	۴/۸۹	-
۵۵۰۹۶	۴/۹۵	۱/۲۳
۱۱۶۸۲۰	۴/۹۹	۰/۸۱
۲۲۸۶۰۸	۵/۰۲	۰/۶۰



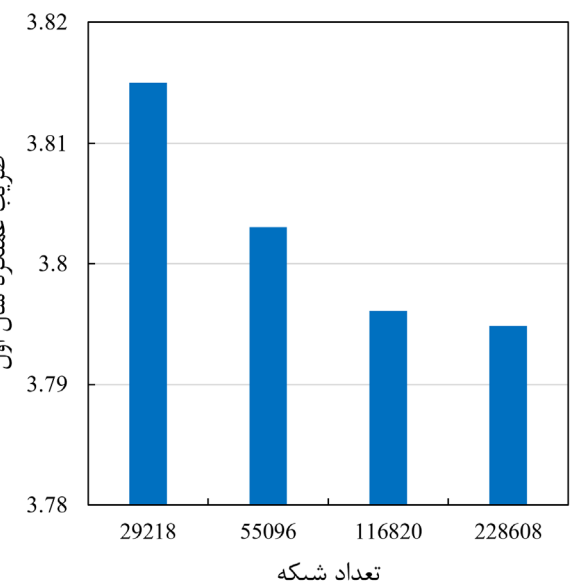
شکل ۴. شبکه‌بندی هندسه مدل‌سازی

Fig. 4. Generated grid for the system simulation

#### ۵- اعتبارسنجی

به منظور اعتبارسنجی از نتایج تجربی متز و همکاران [۲۱] و همچنین نتایج مدل تحلیلی می و همکاران [۹] بر پایه حل تحلیل معادلات حاکم بر مسئله، به ازای هندسه و شرایط یکسان مبدل افقی خطی استفاده شده است. پارامترهای به کاررفته در مطالعه تجربی متز و تحلیلی می و همکاران در جدول ۴ آورده شده است. برای این منظور، دمای آب خروجی به ازای دماهای ورودی یکسان برای مدل‌سازی صورت‌گرفته با دو مدل مقایسه شده است. همان‌طور که در شکل ۵ نیز مشاهده می‌شود مدل می دمای آب خروجی را قدری بیشتر از نتایج تجربی پیش‌بینی می‌کند. برای بررسی خطای مدل‌سازی عددی حاضر از روش جذر میانگین مربعات<sup>۱</sup> استفاده شده است. نتایج نشان می‌دهد خطای جذر میانگین مربعات بین مطالعه حاضر با نتایج تجربی متز /۸ درجه سانتی گراد است. در حالی که این خطا بین نتایج تحلیلی می با نتایج تجربی متز ۱/۱ درجه سانتی گراد است. از این‌رو می‌توان گفت مدل‌سازی صورت گرفته از مدل تحلیلی می نیز به نتایج تجربی نزدیک‌تر شده است و از دقت کافی برخوردار است.

ضریب عملکرد سیستم تقریباً مستقل از شبکه شده است. درنتیجه ۱۱۶۸۲۰ شبکه به عنوان شبکه‌بندی مناسب برای محاسبات انجام گرفت. شبکه‌بندی هندسه به ازای این تعداد شبکه در شکل ۴ نشان داده شده است.



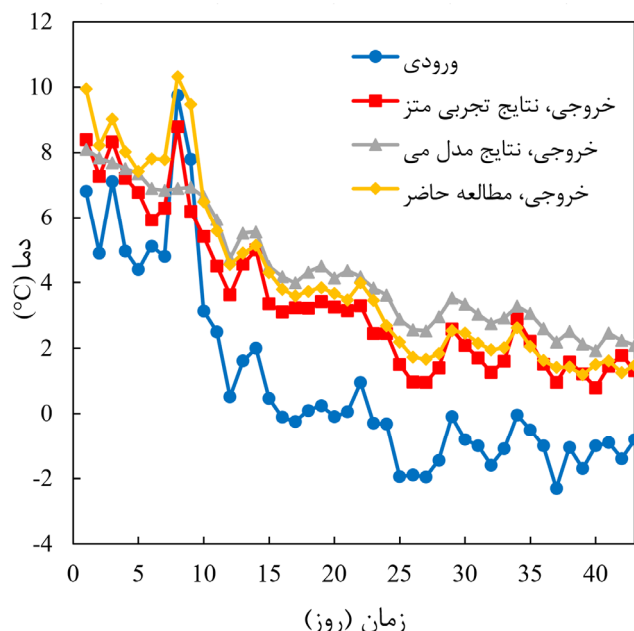
شکل ۳. ضریب عملکرد سال اول به ازای تعداد شبکه‌های مختلف

Fig. 3. First-year COP for various grid resolutions

۱ Root mean square (RMS)

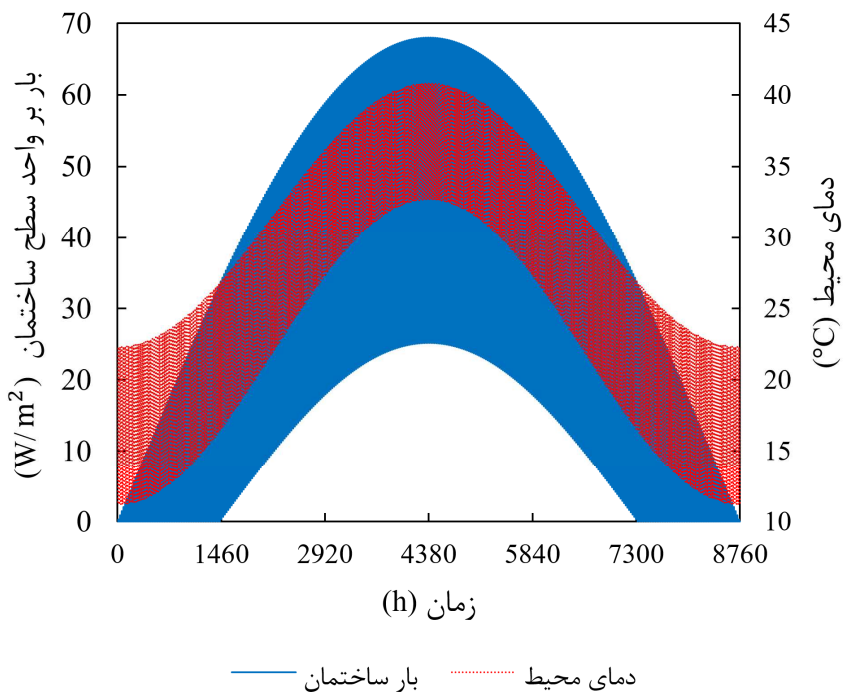
جدول ۴. پارامترهای به کار گرفته شده در مطالعه متز [۲۱] و می [۹]  
Table 4. Parameters used in Metz [9] and Mei [21] studies

پارامتر	مقدار
طول لوله	۱۲۵/۵ m
عمق قرارگیری	۱/۲ m
قطر داخلی لوله	۰/۰۴۰۹ m
قطر خارجی لوله	۰/۰۴۶۴ m
ضریب هدایت حرارتی لوله	۰/۴۶ W.m <sup>-1</sup> .K <sup>-1</sup>
ضریب هدایت حرارتی خاک	۱/۷۳۱ W.m <sup>-1</sup> .K <sup>-1</sup>
ضریب نفوذ حرارتی خاک	۰/۰۰۳۶ m <sup>2</sup> .h <sup>-1</sup>
ضریب هدایت حرارتی سیال	۱/۵۱ W.m <sup>-1</sup> .K <sup>-1</sup>
ظرفیت ویژه گرمایی سیال	۳۹۰۰ J.kg <sup>-1</sup> .K <sup>-1</sup>
دبی سیال	۰/۹۷۲ m <sup>3</sup> .h <sup>-1</sup>



شکل ۵. مقایسه نتایج دمای آب خروجی بین مطالعه حاضر با مطالعات متز [۲۱] و می [۹]

Fig. 5. Comparison of the estimated outlet water temperature with Metz [21] and Mei [9] studies



شکل ۶. بار بر واحد سطح ساختمان و دمای محیط در طول یک سال

Fig. 6. Building load per unit area of the building and ambient temperature over a year

منظور ضریب عملکرد سالانه و راندمان سالانه اگزرزی برای هر دو نوع سیستم در بخش‌های پیش رو مورد ارزیابی قرار گرفته است.

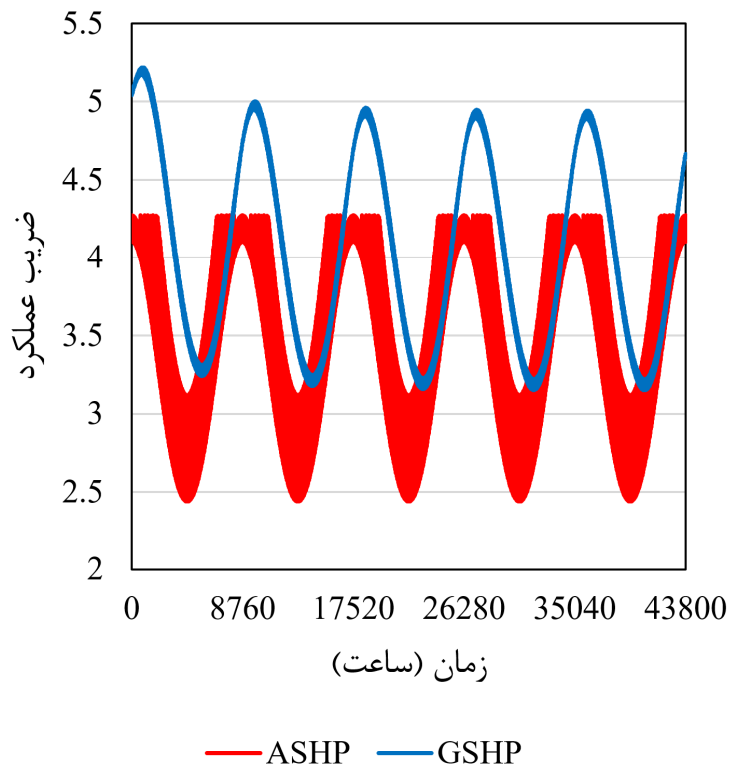
**۶-۱-۱- ضریب عملکرد سالانه سیستم**  
در شکل ۷ تغییرات ساعتی ضریب عملکرد پمپ حرارتی منبع هوایی و منبع زمینی با مقادیر میانی طول، فاصله، عمق و قطر مبدل حرارتی زمینی در دوره‌ای پنج ساله رسم شده است. در نمودار ترسیم شده شروع زمان از خنک‌ترین روز سال است. همان‌طور که در شکل نیز مشخص است در زمان‌های خنک‌تر سال که خاک نیز خنک‌تر است، به دلیل اختلاف کمتر دمای منابع سرد و گرم، کار کمپرسور کمتر و ضریب عملکرد سیستم بیشتر می‌شود. همچنین از آنجایی که در روزهای نظیر در هرسال شرایط محیطی بکسان در نظر گرفته شده است، ضریب عملکرد سالانه پمپ حرارتی منبع هوایی در هرسال مقدار ثابت ۳۰۳۳ به دست آمده است؛ که این میزان برای پمپ حرارتی منبع زمینی در سال اول ۳۷۹۴ است و بعد از پنج سال به دلیل تزریق تدریجی گرما به خاک و گرم شدن تدریجی زمین ضریب عملکرد آن به ۳۷۶۴ کاهش پیدا می‌کند.

## ۶- نتایج و بحث در نتایج ۶-۱- بارحرارتی ساختمان

با استفاده از داده‌های آب وهوایی برای بندرعباس که از پایگاه آب و هوایی [۲۲] گرفته شده است بار ساعتی ساختمان در طول سال برای واحدی مسکونی با استفاده از نرم‌افزار کریر بدستآمده است. از آنجایی که بندرعباس در منطقه‌ای گرم از ایران قرار دارد در طول سال تقریباً فقط به بار سرمایش نیاز دارد. در شکل ۶ بار بر واحد سطح ساختمان و دمای محیط استفاده شده در مدل‌سازی در طول سال ترسیم شده است. همان‌طور که در شکل مشخص است، بیشینه بار سرمایش در طول سال ۶۸ وات بر مترمربع است.

## ۶-۲- مقایسه عملکرد سیستم پمپ حرارتی منبع زمینی با منبع هوایی

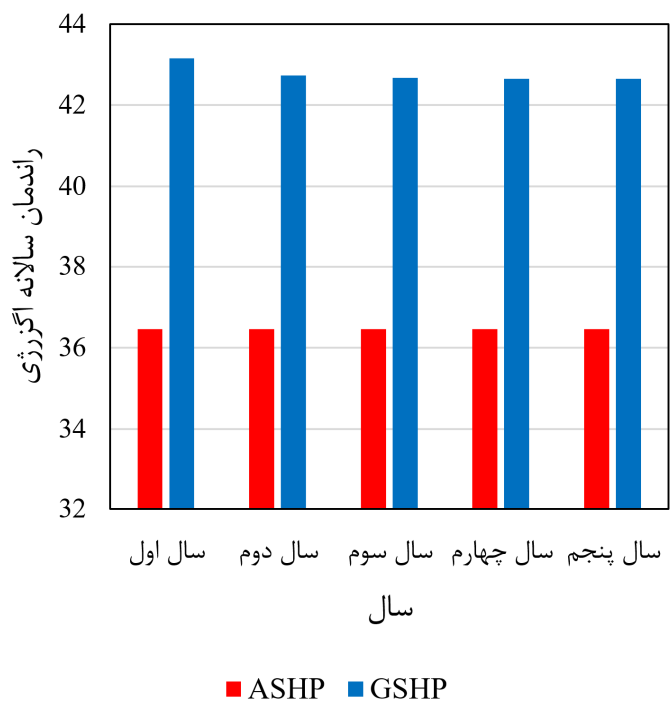
در این بخش عملکرد سیستم پمپ حرارتی منبع زمینی با مبدل حرارتی افقی با مقادیر طول، فاصله بین لوله‌ها، عمق قرارگیری و قطر لوله‌های به ترتیب برابر با ۳۰ متر، ۱ متر، ۲ متر و ۴ سانتی‌متر با پمپ حرارتی منبع هوایی در بندرعباس باهم مقایسه شده است. برای این



شکل ۷. مقایسه تغییرات ساعتی ضریب عملکرد پمپ حرارتی منبع زمینی با منبع هوایی در طول پنج سال  
Fig. 7. Comparison of hourly variations of the COP of the GSHP with ASHP over five years

۶-۳- تأثیر پارامترهای هندسی مبدل حرارتی زمینی بر عملکرد سیستم پمپ حرارتی منبع زمینی  
همان‌طور که پیش‌تر نیز ذکر شد، برای بررسی تأثیر پارامترهای مبدل حرارتی زمینی، مقادیر مختلفی از طول، فاصله، عمق و قطر لوله‌های مبدل حرارتی زمینی در نظر گرفته شده است. برای این منظور، در هر حالت بیشینه میزان بار ساختمان که هر لوله از مبدل حرارتی می‌تواند تأمین کند به‌گونه‌ای به دست آمده است که در هر حالت ضریب عملکرد سال اول یکسانی (برابر با  $\frac{3}{794}$ ) داشته باشد. در جدول ۵ بار بیشینه ساختمان بر واحد طول لوله مبدل حرارتی تحت تأثیر پارامترهای هندسی مبدل حرارتی آورده شده است. همان‌طور که در این جدول مشخص شده است، با افزایش طول لوله مقدار بار بیشینه بر واحد طول لوله اندکی کاهش می‌کند. از آنجایی که بیش‌ترین نرخ انتقال حرارت در بخش ابتدایی لوله‌ها است و در راستای طول لوله به دلیل کاهش اختلاف دمای سیال با خاک نرخ انتقال حرارت کاهش می‌یابد، در طول‌های کمتر نرخ انتقال حرارت بر واحد طول لوله بیش‌تر می‌شود. فاصله دو لوله تأثیر مهمی بر میزان بار

۶-۲- راندمان سالانه اگزرزی سیستم  
راندمان سالانه اگزرزی سیستم پمپ حرارتی منبع زمینی و سیستم پمپ حرارتی منبع هوایی در طول پنج سال کارکرد در شکل ۸ ارائه شده است. همان‌طور که در این شکل مشخص است سیستم منبع زمینی راندمان اگزرزی بالاتری نسبت به نوع منبع هوایی دارد. راندمان سالانه اگزرزی سیستم منبع زمینی در سال اول برابر با  $\frac{42}{65}$  درصد به دست آمده است و پس از پنج سال کارکرد به  $\frac{43}{65}$  درصد کاهش می‌یابد. در حالی که راندمان سالانه اگزرزی برای سیستم منبع هوایی در هر سال برابر با  $\frac{36}{46}$  درصد به دست آمده است. نتایج نشان می‌دهد در سیستم منبع زمینی علاوه بر کاهش راندمان سیکل بازگشت‌پذیر (کارنو) به علت گرم شدن تدریجی دمای زمین باگذشت زمان، سیستم واقعی نیز با گرم شدن دمای خاک بازگشت‌نایپذیرتر می‌شود و درنتیجه راندمان سالانه اگزرزی به مرور کاهش می‌یابد. همچنین برای سیستم منبع هوایی به دلیل یکسان فرض شدن اختلاف دمای منابع سرد و گرم در روزهای نظیر در سال‌های مختلف بازده اگزرزی یکسانی در سال‌های مختلف دارد.



شکل ۸. مقایسه راندمان سالانه اگزرزی پمپ حرارتی منبع زمینی با منبع هوایی در طول پنج سال

Fig. 6. Building load per unit area of the building and ambient temperature over a year

جدول ۵. تأثیر پارامترهای هندسی بر بار بیشینه ساختمان بر طول لوله

Table 5. Effect of geometrical parameters on the maximum building load per unit pipe length

پارامتر (W/m)		بار بیشینه (m)
۱۵/۴۳	۱۵	تأثیر طول
۱۵/۰۵	۳۰	
۱۴/۸۴	۴۵	
۹/۴۹	۰/۵	تأثیر فاصله
۱۵/۰۵	۱	
۱۸/۳۹	۱/۵	
۱۳/۱۵	۱	تأثیر عمق
۱۵/۰۵	۲	
۱۶/۷۸	۳	
۱۴/۹۴	۰/۰۳۲	تأثیر قطر
۱۵/۰۵	۰/۰۴	
۱۵/۲۱	۰/۰۵	

برای فواصل مختلف بین ۲/۶ تا ۴ درصد کاهش می‌یابد. در فواصل کمتر به دلیل تجمع بیشتر حرارت در اطراف لوله‌های مبدل حرارتی افت ضریب عملکرد سالانه نیز بیشتر می‌شود. در شکل ۹-ج تأثیر سه عمق مختلف یک متر، دو متر و سه متر بر عملکرد بلندمدت پمپ حرارتی منبع زمینی بررسی شده است. نتایج نشان می‌دهد ضریب عملکرد در سال پنجم نسبت به سال اول برای عمق‌های یک متر، دو متر و سه متر به ترتیب ۰/۹، ۳/۲ و ۶/۶ درصد کاهش می‌یابد از آنجایی که رفتار خاک در عمق‌های کمتر به شرایط محیطی نزدیک‌تر است هر چه لوله‌ها در عمق کمتری قرار گیرند گرمای منتقل شده به زمین آسان‌تر از سطح زمین دفع می‌شود درنتیجه تجمع گرمای کمتری در اطراف لوله‌ها صورت می‌گیرد و افت عملکرد پمپ حرارتی کمتر می‌شود. همچنین مدت زمان پایدارشدن ضریب عملکرد نیز سریع‌تر صورت می‌گیرد. در شکل ۹-د تأثیر قطرهای مختلف متداول لوله‌های مبدل حرارتی زمینی بررسی شده است. نتایج نشان می‌دهد در تمامی قطرهای بررسی شده عملکرد سال پنجم نسبت به سال اول در حدود ۳/۲ درصد کاهش می‌یابد. از این‌رو می‌توان نتیجه گرفت عملکرد بلندمدت پمپ حرارتی منبع زمینی تقریباً به قطر لوله مبدل حرارتی بستگی ندارد.

#### ۶-۲-۳- راندمان سالانه اگزرزی سیستم

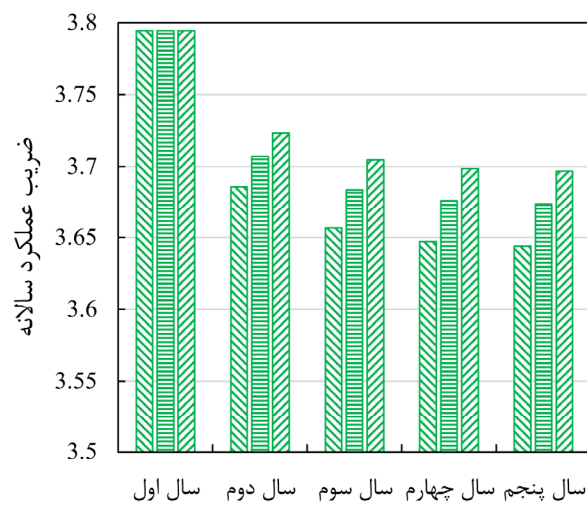
در شکل ۱۰ راندمان سالانه اگزرزی سیستم در طول پنج سال کارکرد تحت تأثیر پارامترهای مختلف هندسی مبدل حرارتی زمینی بررسی شده است. راندمان سالانه اگزرزی سیستم در سال اول برای تمامی حالات برابر با ۴۲/۷۳ درصد به دست آمده است. به دلیل عدم تعادل بار ساختمان، زمین به مرور زمان گرم‌تر و اختلاف دمای منابع سرد و گرم بیش‌تر شده است. نتایج نشان می‌دهد راندمان سالانه اگزرزی پس از پنج سال کارکرد برای طول‌های مختلف مبدل حرارتی بررسی شده بین ۰/۴۶ تا ۰/۵۳ درصد، برای فواصل بین لوله‌های مختلف مبدل حرارتی بررسی شده بین ۰/۴۱ تا ۰/۶۳ درصد، برای عمق‌های مختلف قرارگیری مبدل حرارتی بررسی شده بین ۰/۱۹ تا ۰/۱۰ درصد و قطر لوله‌های مبدل حرارتی بررسی شده در حدود ۰/۵۰ کاهش یافته است. از این‌رو می‌توان نتیجه گرفت با افزایش طول و عمق قرارگیری لوله‌های مبدل حرارتی زمینی یا کاهش فواصل بین لوله‌های مبدل حرارتی زمینی افت سالانه راندمان سالانه اگزرزی سیستم بیش‌تر می‌شود. همچنین قطر لوله‌های مبدل حرارتی زمینی

بیشینه‌ای که هر لوله می‌تواند فراهم کند دارد، به طوری که با افزایش فاصله از ۵/۵ به ۱ متر، ۵۸ درصد و با افزایش فاصله از ۱ به ۱/۵ متر، ۲۲ درصد بار بیشتری می‌توان تأمین کرد. درنتیجه با نزدیک‌شدن دو لوله به هم به دلیل تجمع بیش‌تر حرارت در خاک، توانایی خاک برای خنک‌کردن سیال کمتر شده است. هرچه لوله‌ها در عمق کمتری قرار گیرند به دلیل این‌که رفتار دمایی خاک به محیط نزدیک‌تر است بار کمتری می‌توان برداشت کرد. با افزایش عمق از ۱ به ۲ متر، ۱۴ درصد و با افزایش عمق از ۲ به ۳ متر، ۱۱ درصد بار بیش‌تری می‌توان فراهم نمود. کمترین تأثیر را نیز قطر لوله دارد. به طوری که با افزایش قطر لوله از ۳/۲ سانتی‌متر به ۵ سانتی‌متر کمتر از ۲ درصد از هر لوله مبدل حرارتی زمینی بار بیشتری را می‌توان فراهم نمود.

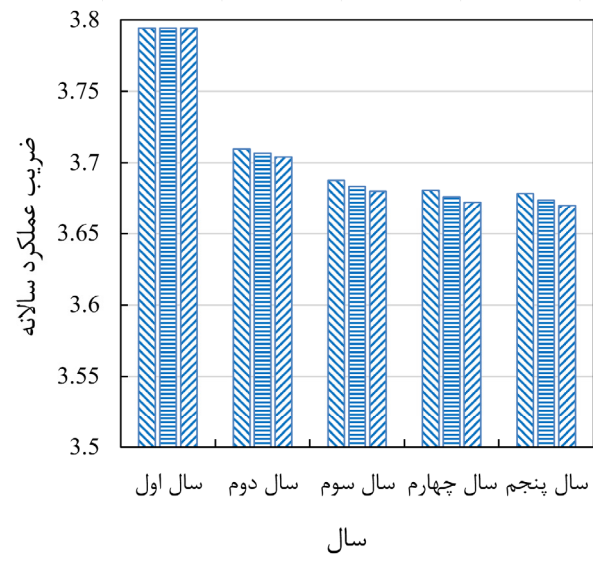
#### ۶-۳-۱- ضریب عملکرد سالانه سیستم

در شکل ۹ تغییرات سالانه ضریب عملکرد پمپ حرارتی تحت تأثیر پارامترهای طول، فاصله، عمق و قطر لوله‌های مبدل حرارتی زمینی در دوره‌ای پنج ساله نشان داده شده است. همان‌طور که گفته شد میزان بار ساختمان به نحوی محاسبه شده است که در تمام حالات ضریب عملکرد در سال اول یکسان شود. به طور کلی به دلیل انتقال حرارت از سیال به خاک مجاور زمین به مرور گرم‌تر می‌شود و توانایی کمتری در خنک‌کردن سیال پیدا می‌کند درنتیجه ضریب عملکرد سالانه هر سال پس از دیگری کاهش می‌یابد. بیشترین کاهش ضریب عملکرد از سال اول به دوم اتفاق می‌افتد و پس از چند سال بین گرمای انتقالی به زمین و تأثیر عوامل محیطی بر سطح زمین تعادل پدید می‌آید و ضریب عملکرد تقریباً به حالت پایدار می‌رسد.

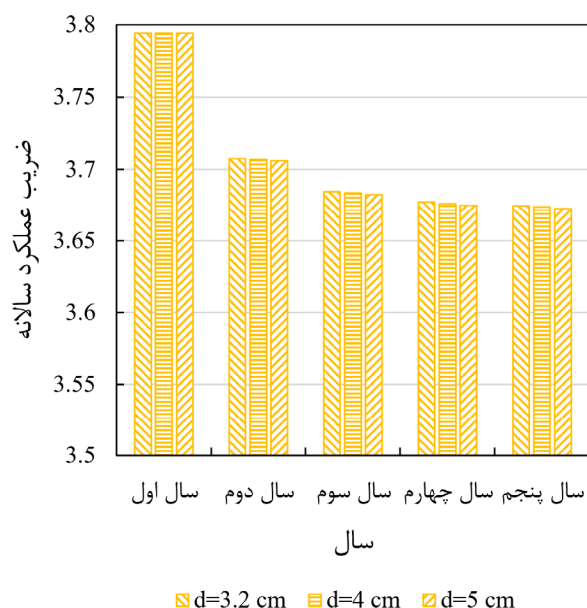
در شکل ۹-الف تأثیر پارامتر طول مبدل حرارتی زمینی دیده شده است. همان‌طور که مشخص است، روند سالانه تغییرات ضریب عملکرد برای طول‌های مختلف یکسان است به طوری که ضریب عملکرد در سال پنجم نسبت به سال اول بین ۳/۱ تا ۳/۳ درصد کاهش می‌یابد. برای طول‌های کمتر افت ضریب عملکرد هر ساله اندکی کمتر است؛ زیرا که وقتی طول کمتر باشد میزان کل گرمای منتقل شده به خاک کمتر و درنتیجه امکان دفع به محیط اطراف بیش‌تر و درنتیجه تجمع حرارت در خاک کمتر می‌شود. تأثیر فاصله لوله‌ها در شکل ۹-ب مشخص شده است. همان‌طور که در این شکل نمایان شده است ضریب عملکرد در سال پنجم نسبت به سال اول



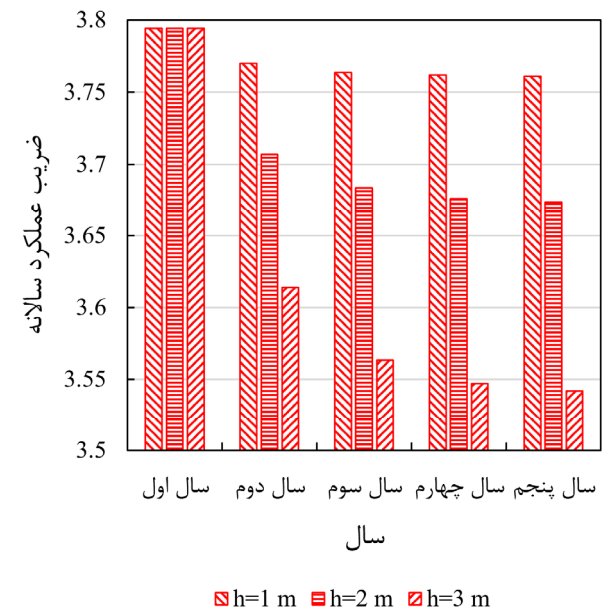
(ب)



(الف)



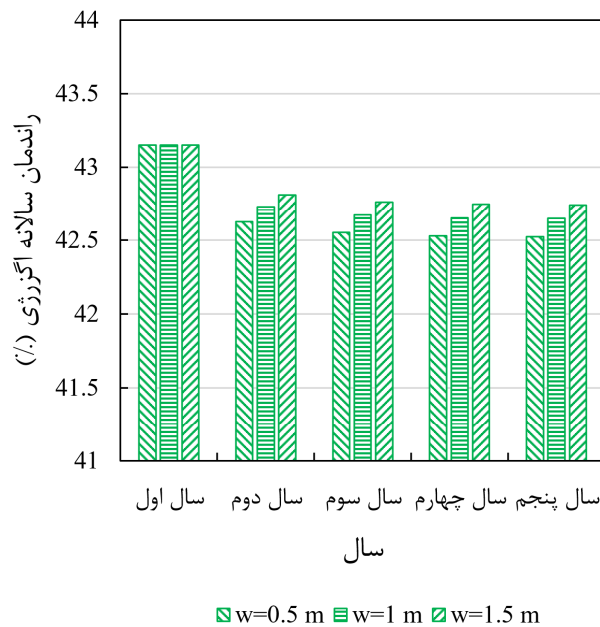
(د)



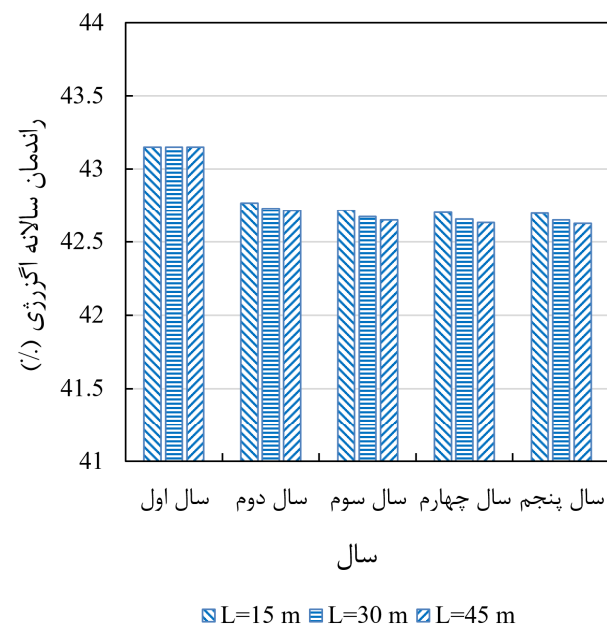
(ج)

شکل ۹. تغییرات ضریب عملکرد سالانه سیستم طی دوره‌ای پنج ساله تحت تأثیر عوامل: (الف) طول، (ب) فاصله، (ج) عمق، (د) قطر.

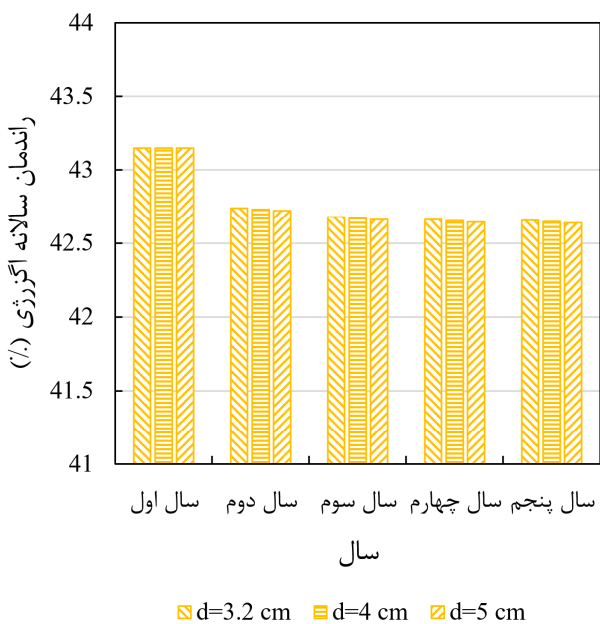
**Fig. 9. Effect of the system geometrical parameters on the annual COP of the system over five years: a) GHE length, b) GHE spacing, c) GHE depth, d) GHE pipe diameter**



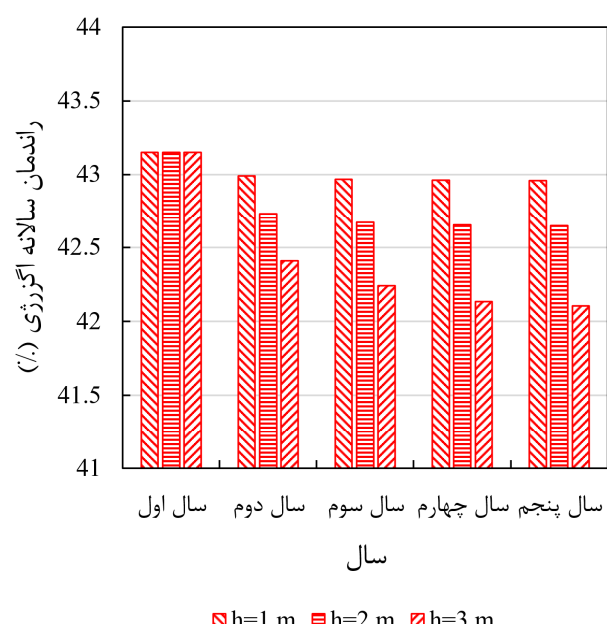
(ب)



(الف)



(د)



(ج)

شکل ۱۰. تغییرات راندمان اگزرسی سالانه سیستم طی دوره‌ای پنج ساله تحت تأثیر عوامل: (الف) طول، (ب) فاصله، (ج) عمق، (د) قطر.

**Fig. 10. Effect of the system geometrical parameters on the annual exergy efficiency of the system over five years: a) GHE length, b) GHE spacing, c) GHE depth, d) GHE pipe diameter**



لوله‌های مبدل حرارتی بررسی شده در حدود ۰/۵۰ درصد کاهش یافته است. علاوه بر این، با احتساب هزینه حفاری و لوله به عنوان دو عامل مهم در هزینه اولیه پمپ‌های حرارتی منبع زمینی، تأثیر پارامترهای هندسی مبدل به ازای تأمین بیشینه بار یک کیلووات بار سرمایش بر هزینه‌های اولیه بررسی شد. نتایج نشان داد به ازای تأمین هر کیلووات بیشینه بار سرمایش با استفاده از پمپ حرارتی منبع زمینی بین ۱/۲۱۳ میلیون تومان تا ۲/۵ میلیون تومان به هزینه‌های اولیه اضافه خواهد شد اما از طرفی ضریب عملکرد پنج‌ساله آن‌ها بین ۱۹/۰۹ درصد تا ۲۴/۳۰ درصد و راندمان اگررژی پنج‌ساله آن‌ها بین ۵/۹۵ درصد تا ۶/۵۵ درصد نسبت به پمپ‌های حرارتی منبع هوایی بیشتر می‌شود. درمجموع می‌توان نتیجه گرفت استفاده از طول‌های کمتر مبدل حرارتی، هزینه اولیه را کاهش و عملکرد سیستم را افزایش می‌دهد. فاصله مهم‌ترین عامل در سطح زمین موردنیاز دارد. با نصب مبدل‌های حرارتی در عمق‌های کمتر گرچه میزان بار ساختمان کمتری را می‌توانند تأمین کنند، اما امکان پخش بهتر حرارت را میسر می‌کند و افت سالیانه عملکرد سیستم را کاهش می‌دهد. همچنین از آنجایی که بیشترین تأثیر در هزینه‌های اولیه این نوع سیستم‌ها هزینه حفاری زمین است، بیشترین تأثیر در میزان کاهش هزینه اولیه را عمق نصب مبدل دارد. بر اساس نتایج به دست آمده، قطر مبدل زمینی نیز بر عملکرد این سیستم‌ها تقریباً تأثیری ندارد اما استفاده از قطراهای بزرگ‌تر هزینه اولیه را زیادتر می‌کند.

هزینه لوله‌های با قطر بزرگ‌تر بیشتر است با افزایش قطر لوله از ۳/۲ سانتی‌متر به ۵ سانتی‌متر، هزینه اولیه ۹/۵۶ درصد افزایش می‌یابد.

## ۷- نتیجه‌گیری

در این پژوهش به مقایسه ضریب عملکرد سالانه و راندمان سالانه اگررژی پمپ حرارتی منبع هوایی با منبع زمینی برای منزلی مسکونی در بندرعباس که فرض شده است در طول سال فقط به بار سرمایش نیاز دارد، پرداخته شده است. برای این منظور با استفاده از دمای هوای محیط، به عنوان دمای منبع سرد، از طریق رابطه‌ای تجربی ضریب عملکرد پمپ حرارتی منبع هوایی به دست آمده شده است. برای بررسی عملکرد پمپ حرارتی منبع زمینی، به مدل سازی عددی مبدل زمینی افقی خطی پرداخته شده است و با استفاده از دمای آب خروجی مبدل حرارتی از طریق رابطه‌ای تجربی عملکرد پمپ حرارتی منبع زمینی به صورت ساعتی برای دوره‌ای پنج‌ساله محاسبه شده است. برای بررسی بهتر، پارامترهای مختلف مبدل حرارتی زمینی از جمله طول، فاصله، عمق و قطر لوله‌های مبدل حرارتی بررسی شده است. برای این منظور بیشینه بار ساختمان که هر لوله در شرایط مختلف می‌توانند تأمین کنند به گونه‌ای مشخص شده‌اند که ضریب عملکرد سال اول پمپ حرارتی منبع زمینی مقدار یکسان ۳/۷۹۴ داشته باشند. نتایج نشان داد به دلیل انتقال پیوسته گرما به خاک زمین سالانه گرم‌تر می‌شود و درنتیجه ضریب عملکرد و راندمان اگررژی سیستم کاهش پیدا می‌کند. از بین پارامترهای بررسی شده عمق بیشترین و قطر کم‌ترین تأثیر در تغییر سالیانه ضریب عملکرد و راندمان اگررژی پمپ حرارتی دارد. ضریب عملکرد سال پنجم نسبت به سال اول تحت تأثیر طول‌های مختلف مبدل حرارتی بررسی شده بین ۳/۱ الی ۳/۳ درصد، فواصل بین لوله‌های مختلف مبدل حرارتی بررسی شده بین ۲/۶ تا ۴ درصد، عمق‌های مختلف قرارگیری مبدل حرارتی بررسی شده بین ۰/۰ الی ۶/۶ درصد و قطر لوله‌های مختلف مبدل حرارتی بررسی شده در حدود ۳/۲ درصد کاهش پیدا می‌کند. همچنین راندمان سالانه اگررژی در این دوره برای طول‌های مختلف مبدل حرارتی بررسی شده بین ۰/۰۴۶ الی ۰/۰۵۳ درصد، برای فواصل بین لوله‌های مختلف مبدل حرارتی بررسی شده بین ۰/۰۴۱ تا ۰/۰۶۳ درصد، برای عمق‌های مختلف قرارگیری مبدل حرارتی بررسی شده بین ۰/۰۱۹ تا ۰/۰۱۰ درصد و قطر

## ۸- فهرست علائم

### علائم انگلیسی

ضریب عملکرد	COP
ظرفیت گرمایی ویژه، $\text{W} \cdot \text{kg}^{-1} \cdot \text{K}^{-1}$	$c_p$
قطر لوله مبدل حرارتی زمینی	$d$
عمق قرارگیری مبدل حرارتی زمینی	$h$
ضریب انتقال حرارت جابه‌جاوی، $\text{W} \cdot \text{K}^{-1} \cdot \text{m}^{-2}$	$h_{\text{conv.}}$
تابش، $\text{W} \cdot \text{m}^{-2}$	$I$
رسانندگی گرمایی، $\text{W} \cdot \text{K}^{-1} \cdot \text{m}^{-1}$	$k$
طول مبدل حرارتی زمینی	$L$
جرم، $\text{kg}$	$m$
گرما، $\text{W}$	$Q$
دما، $\text{K}$	$T$
سرعت، $\text{m.s}^{-1}$	$U$
فاصله بین لوله‌های مبدل حرارتی زمینی	$w$

- experimental analysis of optimal buried depth of the vertical U-tube ground heat exchanger for a ground-coupled heat pump system, Renewable energy, 73 (2015) 46-54.
- [8] Y. Li, S. Geng, X. Han, H. Zhang, F. Peng, Performance evaluation of borehole heat exchanger in multilayered subsurface, Sustainability, 9(3) (2017) 356.
- [9] V. C. Mei, Heat transfer of buried pipe for heat pump application, Journal of solar energy engineering, 113(1) (1991) 51-55.
- [10] K. Kupiec, B. Larwa, M. Gwadera, Heat transfer in horizontal ground heat exchangers, Applied Thermal Engineering, 75 (2015) 270-276.
- [11] N. Kayaci, H. Demir, Numerical modelling of transient soil temperature distribution for horizontal ground heat exchanger of ground source heat pump, Geothermics, 73 (2018) 33-47.
- [12] G. Gan, Dynamic thermal performance of horizontal ground source heat pumps—The impact of coupled heat and moisture transfer, Energy, 152 (2018) 877-887.
- [13] Z. Zhao, R. Shen, W. Feng, Y. Zhang, Y. Zhang, Soil thermal balance analysis for a ground source heat pump system in a hot-summer and cold-winter region, Energies, 11(5) (2018) 1206.
- [14] in: ASHRAE handbook: heating, ventilating, and air-conditioning applications, Inch-Pound Edition, American Society of Heating, Refrigerating and Air-Conditioning Engineers 2015.
- [15] I. Staffell, D. Brett, N. Brandon, A. Hawkes, A review of domestic heat pumps, Energy & Environmental Science, 5(11) (2012) 9291-9306.
- [16] M. Habibi, A. Amadeh, A. Hakkaki-Fard, A numerical study on utilizing horizontal flat-panel ground heat exchangers in ground-coupled heat pumps, Renewable Energy, 147 (2020) 996-1010.
- [17] S.P. Kavanaugh, K.D. Rafferty, Geothermal heating and cooling: design of ground-source heat pump systems, ASHRAE, (2014).
- [18] A. Sedaghat, M. Habibi, A. Hakkaki-Fard, A novel ground thermal recovery system for horizontal ground heat exchangers in a hot climate, Energy Conversion and Management, 224 (2020) 113350.
- [19] Y.A. Cengel, M.A. Boles, Thermodynamics: An Engineering Approach 6th Editon (SI Units), The McGraw-Hill Companies, Inc., New York, (2007).
- [20] M. Habibi, A. Hakkaki-Fard, Long-term energy and exergy analysis of heat pumps with different types of ground and air heat exchangers, International Journal of Refrigeration, 100 (2019) 414-433.
- [21] P.D. Metz, Ground coupled heat-pump-system experimental results, NASA STI/Recon Technical Report N, 84 (1983).
- [22] Weather data. [https://energyplus.net/weather-location/asia\\_wmo\\_region\\_2/IRN//IRN\\_Bandar.Abass.408750\\_ITMY](https://energyplus.net/weather-location/asia_wmo_region_2/IRN//IRN_Bandar.Abass.408750_ITMY), (2019).
- [23] J. Luo, H. Zhao, S. Gui, W. Xiang, J. Rohn, P. Blum, Thermo-economic analysis of four different types of ground heat exchangers in energy piles, Applied

علامه یونانی	
ضریب بازتاب	$\alpha$
ضریب پخش	$\epsilon$
راندمان اگروری	$\eta$
لرجهت، $\text{kg.m}^{-1}.\text{s}^{-1}$	$\mu$
چگالی، $\text{kg.m}^{-3}$	$\rho$
ثابت استفان بولتزمان، $\text{W.m}^{-2}.\text{K}^{-1}$	$\sigma$
زیرنویس	
محیط	<i>amb.</i>
سالانه	<i>annual</i>
ساختمن	<i>build.</i>
کمپرسور	<i>comp.</i>
زمین	<i>gro.</i>
پمپ حرارتی منبع هوایی	<i>ASHP</i>
پمپ حرارتی منبع زمینی	<i>GSHP</i>
مدل آبی حرارتی زمینی	<i>GWHE</i>
ورودی	<i>in</i>
خروجی	<i>out</i>
بارگشت‌پذیر	<i>rev</i>
آسمان	<i>sky</i>
آب	<i>w</i>

## ۹- مراجع

- [1] M. Hanif, T. Mahlia, A. Zare, T. Saksahdan, H. Metselaar, Potential energy savings by radiative cooling system for a building in tropical climate, Renewable and sustainable energy reviews, 32 (2014) 642-650.
- [2] Y. Yuan, X. Cao, L. Sun, B. Lei, N. Yu, Ground source heat pump system: A review of simulation in China, Renewable and Sustainable Energy Reviews, 16(9) (2012) 6814-6822.
- [3] W. Zhang, H. Yang, L. Fang, P. Cui, Z. Fang, Study on heat transfer of pile foundation ground heat exchanger with three-dimensional groundwater seepage, International Journal of Heat and Mass Transfer, 105 (2017) 58-66.
- [4] P. Congedo, G. Colangelo, G. Starace, CFD simulations of horizontal ground heat exchangers: A comparison among different configurations, Applied Thermal Engineering, 33 (2012) 24-32.
- [5] M. Habibi, A. Hakkaki-Fard, Evaluation and improvement of the thermal performance of different types of horizontal ground heat exchangers based on techno-economic analysis, Energy Conversion and Management, 171 (2018) 1177-1192.
- [6] M. Li, A.C. Lai, Analytical model for short-time responses of ground heat exchangers with U-shaped tubes: model development and validation, Applied energy, 104 (2013) 510-516.
- [7] J. Chen, L. Xia, B. Li, D. Mmereki, Simulation and

- [25] Price of polyethylen pipe. <<http://www.bill-loolehmarket.com>>, (2018).
- [26] Excavation costs. <<http://takhrib-saakhteman.ir>>, (2019).
- Thermal Engineering, 108 (2016) 11-19.
- [24] N. Kayaci, H. Demir, Long time performance analysis of ground source heat pump for space heating and cooling applications based on thermo-economic optimization criteria, Energy and Buildings, 163 (2018) 121-139.

برای ارجاع به این مقاله از عبارت زیر استفاده کنید:

A. Sedaghat, A. Hakkaki-Fard. Comparison of long-term performance and the initial cost of the horizontal ground source heat pump with the air source heat pump in hot regions ,Amirkabir J. Mech. Eng., 53(Special Issue 5)(2021) 3317-3334.

DOI: [10.22060/mej.2020.18015.6714](https://doi.org/10.22060/mej.2020.18015.6714)

